

论鼓的振动模态解和定音鼓的发声机理

袁云鹏, 李兆彬¹ and 蒲天舒, 肖钰洋²

¹ 北京大学信息科学技术学院

² 北京大学物理学院

2022 年 11 月 21 日

1 鼓膜振动

我们将鼓膜的振动近似地看作是一个有限大的圆形薄膜的二维振动，且不考虑周期力。首先考虑一个矩形薄膜，其尺寸为 L_x 和 L_y ，边缘固定，表面张力系数 T 始终恒定。假设薄膜材料的面密度为 σ 。薄膜发生振动时，考虑一面元 $dx dy$ ，如图1所示，在竖直方向上

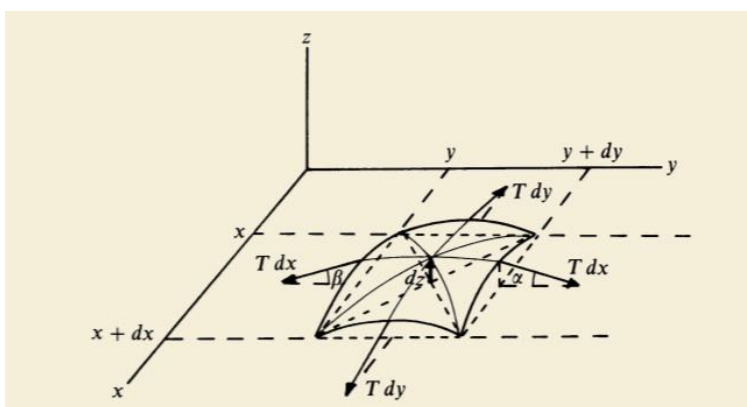


图 1: 鼓上微元受力

有 dz 大小的位移，因此微元四周受到表面张力 T 给面元恢复平衡的趋势。其中垂直 x 轴方向的张力大小为 $T dx$ ，它们的垂直分量为 $-T \sin \alpha dx$ 和 $-T \sin \beta dx$ 。 α 和 β 为表面张力与水平面的夹角，小量近似得：

$$\sin \alpha \approx \tan \alpha = \left(\frac{\partial z}{\partial y} \right)_{y+dy}$$

$$\sin \beta \approx \tan \beta = \left(\frac{\partial z}{\partial y} \right)_y$$

因此这组张力的垂直分量有

$$F_y = -Tdx \left[\left(\frac{\partial z}{\partial y} \right)_{y+dy} - \left(\frac{\partial z}{\partial y} \right)_y \right] = -Tdx \frac{\partial^2 z}{\partial y^2} dy$$

同理，作用在面元上的垂直 y 轴方向的一组张力的垂直分量有

$$F_x = -Tdy \frac{\partial^2 z}{\partial x^2} dx$$

则面元受到的竖直方向表面张力大小有 $F = F_x + F_y$ ，根据牛顿第二定律有

$$Tdx dy \left(\frac{\partial^2 z}{\partial x^2} + \frac{\partial^2 z}{\partial y^2} \right) = \sigma dx dy \frac{\partial^2 z}{\partial t^2}$$

两边除以 $dx dy$ 得偏微分方程

$$\frac{\partial^2 z}{\partial t^2} = c^2 \left(\frac{\partial^2 z}{\partial x^2} + \frac{\partial^2 z}{\partial y^2} \right)$$

其中 $c = \sqrt{\frac{T}{\sigma}}$ ，作极坐标代换得

$$\frac{\partial^2 z}{\partial t^2} = c^2 \left(\frac{\partial^2 z}{\partial r^2} + \frac{1}{r} \frac{\partial z}{\partial r} + \frac{1}{r^2} \frac{\partial^2 z}{\partial \theta^2} \right)$$

1.1 法一

对 z 进行分离变量得 $z = f(r)g(\theta)h(t)$ ，将上式代入二阶偏微分方程得

$$f(r)g(\theta)h''(t) = c^2 \left(f''(r)g(\theta)h(t) + \frac{1}{r} f'(r)g(\theta)h(t) + \frac{1}{r^2} f(r)g''(\theta)h(t) \right)$$

两边同时除以 $f(r)g(\theta)h(t)$ 得

$$\frac{h''(t)}{h(t)} = c^2 \left(\frac{f''(r)}{f(r)} + \frac{1}{r} \frac{f'(r)}{f(r)} + \frac{1}{r^2} \frac{g''(\theta)}{g(\theta)} \right)$$

由于方程中右式仅与 t 相关，左式仅与 r 、 θ 相关，且 t 、 r 、 θ 是三个独立变量，则等式两边须等于同一个常数 $-\omega^2$ ，于是得到两个方程

$$h''(t) = -\omega^2 h(t)$$

$$\frac{f''(r)}{f(r)} + \frac{1}{r} \frac{f'(r)}{f(r)} + \frac{1}{r^2} \frac{g''(\theta)}{g(\theta)} = -\frac{\omega^2}{c^2}$$

解得

$$h(t) = H \sin(\omega t + \Phi)$$

其中 H 、 Φ 为常数，将化简后偏微分方程两边同乘 r^2 得

$$r^2 \frac{f''(r)}{f(r)} + r \frac{f'(r)}{f(r)} + \frac{\omega^2}{c^2} r^2 = -\frac{g''(\theta)}{g(\theta)}$$

由于方程中右式仅与 r 相关，左式仅与 θ 相关，且 r 、 θ 是两个独立变量，则等式两边仍须等于同一个常数，则可能为正弦函数或指数函数，而的周期为 2π ，则常数的公因数为一整数 n 的平方，则有

$$g''(\theta) = -n^2 g(\theta)$$

解得

$$g(\theta) = G \sin(n\theta + \psi)$$

其中 G 、 ψ 为常数，于是偏微分方程有

$$r^2 \frac{f''(r)}{f(r)} + r \frac{f'(r)}{f(r)} + \frac{\omega^2}{c^2} r^2 = n^2$$

两边同乘 $f(r)$ 并除以 r^2 得

$$f''(r) + \frac{1}{r} f'(r) + \left(\frac{\omega^2}{c^2} - \frac{n^2}{r^2} \right) f(r) = 0$$

该方程的解为 $J_n(\frac{\omega r}{c})$ 和 $Y_n(\frac{\omega r}{c})$ 的线性组合，当 r 趋于 0 时，后者趋于 $-\infty$ ，于是膜中心为一奇点，则解仅与 $J_n(\frac{\omega r}{c})$ 有关¹。

由 z 的变量分离得

$$z = A J_n \left(\frac{\omega r}{c} \right) \sin(\omega t + \Phi) \sin(n\theta + \psi)$$

其中 A 为常数。则圆形薄膜的固有振动的频率有

$$f_{n,k} = \frac{j_{n,k}}{2\pi a} c$$

其中 $j_{n,k}$ 为 n 阶 Bessel 函数的第 k 个零点， a 为鼓膜半径， $c = \sqrt{\frac{T}{\sigma}}$ 。鼓的基频有

$$f_{0,1} = \frac{j_{0,1}}{2\pi a} c$$

1.2 法二

偏微分方程和边界条件有

$$\frac{\partial^2 z}{\partial t^2} = c^2 \left(\frac{\partial^2 z}{\partial r^2} + \frac{1}{r} \frac{\partial z}{\partial r} + \frac{1}{r^2} \frac{\partial^2 z}{\partial \theta^2} \right) \quad (1.1)$$

$$z|_{r=0} \text{ 有界}, \quad z|_{r=a} = 0 \quad (1.2)$$

$$z|_{\theta=0} = z|_{\theta=2\pi}, \quad \frac{\partial z}{\partial \theta} \Big|_{\theta=0} = \frac{\partial z}{\partial \theta} \Big|_{\theta=2\pi} \quad (1.3)$$

¹ 参见吴崇试，高春媛. 数学物理方法 [M]. 北京大学出版社，2019.

若方程有非零解

$$z(r, \theta, t) = v(r, \theta)e^{i\omega t} \quad (2)$$

代入偏微分方程 (1.1) 及边界条件 (1.2) 和 (1.3), 并令得下列偏微分方程本征值问题

$$\begin{aligned} \frac{1}{r} \frac{\partial}{\partial r} \left(r \frac{\partial v}{\partial r} \right) + \frac{1}{r^2} \frac{\partial^2 v}{\partial \theta^2} + k^2 v &= 0 \\ v|_{r=0} \text{ 有界}, \quad v|_{r=a} &= 0 \\ v|_{\theta=0} = v|_{\theta=2\pi}, \quad \frac{\partial v}{\partial \theta}|_{\theta=0} &= \frac{\partial v}{\partial \theta}|_{\theta=2\pi} \end{aligned}$$

再令 $v(r, \theta) = R(r)\Theta(\theta)$, 分离变量, 分解为两个常微分方程的本征值问题

$$\theta''(\theta) + \lambda\theta(\theta) = 0 \quad (3.1)$$

$$\theta(0) = \theta(2\pi), \theta'(0) = \theta'(2\pi) \quad (3.2)$$

和

$$\frac{1}{r} \frac{d}{dr} \left[r \frac{dR(r)}{dr} \right] + \left(k - \frac{\lambda}{r^2} \right) R(r) = 0 \quad (4.1)$$

$$R(0) \text{ 有界}, \quad R(a) = 0 \quad (4.2)$$

其中本征值问题 (3) 的解为

$$\begin{aligned} \text{本征值 } \lambda_m &= m^2, m = 0, 1, 2, 3, \dots \\ \text{本征函数 } \Theta_m(\theta) &= \begin{cases} \cos m\theta, & m = 0, 1, 2, \dots \\ \sin m\theta, & m = 1, 2, 3, \dots \end{cases} \end{aligned}$$

故本征值问题 (4) 中参数 $\lambda = m^2$ 已知, 本征值 k^2 待求将 (4.1) 式两端乘以 $rR^*(r)$ 再积分得

$$k^2 \int_0^a R(r)R^*(r)rdr = m^2 \int_0^a R(r)R^*(r)\frac{dr}{r} + \int_0^a \frac{dR(r)}{dr} \frac{dR^*(r)}{dr} rdr$$

故一定有本征值 $k^2 > 0$, 通过作变换 $x = kr$ 将微分方程 (4.1) 化为 Bessel 方程, 从而求得它的通解

$$R(r) = CJ_m(kr) + DN_m(kr)$$

考虑到边界条件 (4.2) 的要求, $R(0)$ 有界, 故 D 有界。又由于要求 $R(a) = 0$, 得到

$$J_m(ka) = 0$$

将 m 阶 Bessel 函数的第 i 个正零点 (由大到小排列) 记作 $\mu_i^{(m)}, i = 1, 2, 3, \dots$, 则本征值问题 (4) 的解是

$$\begin{aligned} \text{本征值 } k_{mi}^2 &= \left(\frac{\mu_i^{(m)}}{a} \right)^2, i = 1, 2, 3, \dots \\ \text{本征函数 } R_{mi}(r) &= J_m(k_{mi}r) \end{aligned}$$

于是求得圆形薄膜的固有振动的频率, 其中 $\mu_i^{(m)}$ 是 m 阶 Bessel 函数的第 i 个正零点。

2 定音鼓的发声机理简要分析

2.1 综述

在定音鼓 (timpani, or Kettledrum) 的研究中, 有几个重要的点需要强调。一是鼓上膜的振动模态, 二是鼓腔内空气和膜共同振动, 三是演奏时敲击的位置 (影响哪种模态可以被激发)^[1]。虽然空腔的形状和物理性质似乎也会改变频率, 但研究表明这似乎不是一个非常重要的影响因素。

2.2 鼓膜的影响

由第一部分的理论计算我们可以知道, 膜为圆形的鼓上, 其模态为 Bessel 函数 (普通、球形) 的线性叠加 (当然, 膜为矩形或方形的鼓面也是存在的, 葡萄牙的女性就常常演奏一种名叫 *adufe* 的传统方形手鼓, 但是我们暂时只研究圆形鼓面情况)。代入边界条件, 通过求这些方程的数值解, 可以得级数 n 不同时的振动模态²。

表 1: 前几级 Bessel 函数的数值根

k	J_0	J_1	J_2	J_3	J_4
1	2.40483	3.83171	5.13562	6.38016	7.58834
2	5.52008	7.01559	8.41724	9.76102	11.06471
3	8.65373	10.17347	11.61984	13.01520	14.37254

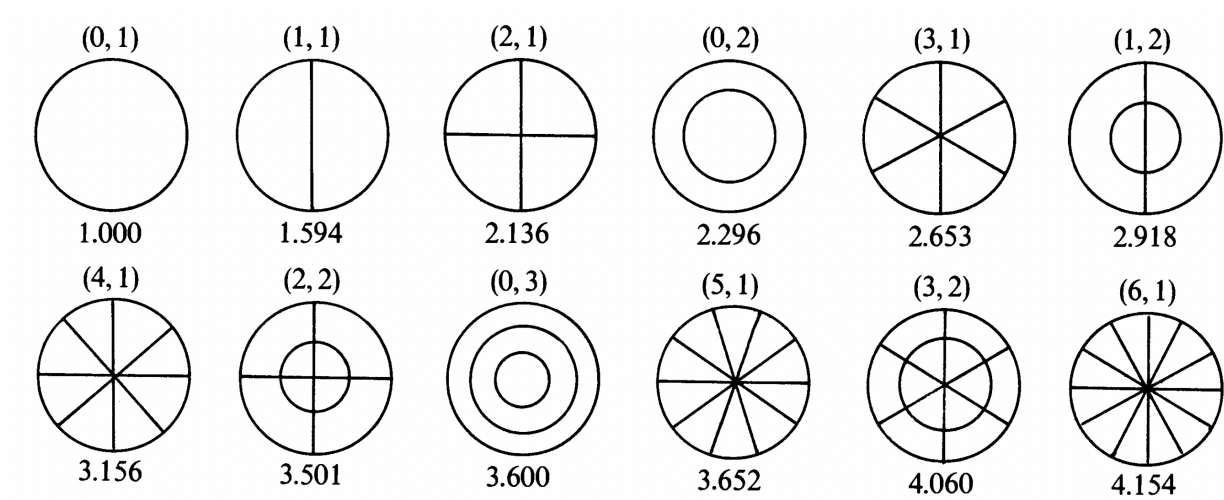


图 2: 前 14 个膜振动模态^[1]。以 $f_{0,1} = \frac{j_{0,1}}{2\pi a} \sqrt{\frac{T}{\sigma}} = \frac{2.40483}{2\pi a} \sqrt{\frac{T}{\sigma}}$ 为基频, 其他模态 $(n, k) = \frac{f_{n,k}}{f_{0,1}}$

以 $(1,1)=1.594$ 作基频, 由上表作一些计算, $(1,1):(2,1):(3,1)=1.00:1.34:1.66$ 。但是实际测量发现经过调节后的定音鼓中的 $(1,1)$ 、 $(2,1)$ 和 $(3,1)$ 模式的频率几乎为 $1:1.5:2$ ^[2]。 $(4,1)$

²数值解仍旧参见吴书。

和 (5,1) 模式的比例通常为基本 (1,1) 模式的 2.44 倍和 2.90 倍（在 2.5 和 3 的半音范围内）。因此，1 至 5 级的模态频率比接近 2:3:4:5:6，这就是定音鼓有一种“音高感”的部分原因，即鼓面的振动频率本身就近似是简单整数比。

2.3 空气的影响

上面我们把 (1,1) 作为基频，实际上这是图2中画出的第二个模态。那为什么 (0,1) 模态不是基频？实际上，在一个封闭的鼓腔内，(0,1) 的振动依赖于空气的压缩、膨胀而不是鼓面的振动（从图中它是唯一没有图案的可以直观地看出这一点）。我们知道，空气自带质量，其惯性会降低振动频率，这种效应在振动模态的级数比较低时尤为明显。所以人耳难以觉察这个频率，反而是比它高一级的 (1,1) 频率成为了事实上的基频^[3]。虽然也有理论认为，Timpani 鼓的底部小孔才是使 (0,1) 模式急剧衰减的重要因素，但这个理论已经被实验所否定。

还有关于 (1,1)、(2,1) 和 (3,1) 三者频率比的问题，之所以理论上膜的频率比和实际鼓的频率的测量值有较大差距，空气起了重要调音作用。我们可以粗略地说：

- (1) 腔内空气的弹性恢复力提高了同心模式 [(0,1)、(0,2)、(0,3) 等] 的频率；
- (2) 腔内空气的质量降低了其它模式 [(1,1)、(2,1)、(3,1) 等] 的频率；

理论推导见下。

先估算一下量级，考虑频度 $f = 300 \text{ Hz}$ ，尺度 $a = 0.25 \text{ m}$ ， $v = 300 \text{ m/s}$ ，故空气对应波长较长，采取近场近似。对 (0,k)：

$$\frac{\partial^2 z}{\partial t^2} = c^2 \left(\frac{\partial^2 z}{\partial x^2} + \frac{\partial^2 z}{\partial y^2} \right) + \frac{\delta p}{\sigma}$$

$$\delta p = -\gamma \frac{p_0}{V_0} \delta V = -\gamma \frac{p_0}{V_0} S x_{0k} A_{0k}$$

其中

$$x_{0k} = \frac{\int J_0(x) x dx}{\int x dx} = \frac{2}{\mu_{0k}} J_1(\mu_{0k})$$

代入

$$z = A_{0k} J_0(\omega_{0k} t / c) \sin(\omega t)$$

得到

$$\omega^2 = \omega_{0k}^2 + \gamma \frac{p_0 S}{\sigma V_0} x_{0k}$$

$$\frac{\omega^2}{\omega_{0k}^2} - 1 = \frac{\gamma p_0 \pi a^4 x_{0k}}{T V_{0k}} \sim \frac{p_0 a^4}{T V_0} \sim \frac{p_0 a}{T}$$

对 (1,1)，将空气视作低速流体：

$$\frac{\Delta E_k}{E_k} = \frac{1/2 \left(\int \rho_a \omega z x dx dy \right)^2 / \rho V_0}{1/2 \int \sigma \omega^2 z^2 dx dy} = \frac{\rho_a a^4 \left(\int J_1(x) x^2 dx \right)^2}{\sigma V_0 \int J_1^2(x) x dx}$$

$$1 - \frac{\omega^2}{\omega_{ok}^2} \sim \frac{\rho_a a^4}{\sigma V_0} \sim \frac{\rho_a a}{\sigma}$$

容易发现，对的不同 n 频率，同样有附加质量效应，随着 n 的增大，空气位移逐渐减小，附加质量逐渐减小。在较低的几个频率，空气的附加质量较大，于是通过控制定音鼓参数，可以调节其频率比率 $(1,1):(2,1):(3,1)=1.00:1.34:1.66$ 。调节附加质量后比值 $(1,1):(2,1):(3,1)=1:1.5:2$ ，此时构成协和音程。关于不同模态的表格参见图3。

除此之外，空气的一个重要作用是防止鼓上表面的振动通过它传递到下表面，后者形状和发声性质都未知，会引入其他的杂音。故空气层保证绝大多数能量都用于上表面振动发声，使鼓声从上表面向四周辐射开去，同时确保频率的“单一性、纯粹性”^[4]。

Figure 3g is the set of frequencies that was reported by Benade for Duff's instrument which was tuned to C3 130.8 Hz. The letters (beginning with P for the principal tone) represent the sequence of modes starting with P=mode (1,1), Q=mode (2,1), R=mode (0,2), S=mode (3,1), T=mode (1,2), U=mode (4,1), V=mode (2,2), W=mode (0,3), X=mode (5,1) and Y=mode (6,1). The [preferred modes](#) are P, Q, S, U, X and Y. Modes R, V, and W are the more damped non-preferred modes and so their respective theoretical ratios are not shown.

Fig. 3g

Mode	Theoretical Ratio	Measured Ratio
P	1.00	1.00 (130.8 Hz)
Q	1.35	1.504
R	...	1.742
S	1.67	2.00
T	...	2.245
U	1.99	2.494
V	...	2.800
W	...	2.852
X	2.30	2.979
Y	2.61	3.462

The missing fundamental effect might then give you the pitch C2 for the instrument under certain conditions and dynamic levels. ¹⁵

图 3: 不同模态^[5]

2.4 打击点的影响

敲击边缘和中心对频率的激发存在一定的影响。例如敲击标准打击位置（从边缘起，到中央连线上的第一个四分点），可以保证 (1,1)、(2,1) 和 (3,1) 模态非常突出，而 (0,0) 仅仅和高级次的 (4,1) 差不多一样不显著，(0,2) 更是比 (5,1) 稍弱（见图4(a)(b)）。打击中央点，虽然 (0,1)、(0,2) 较上次明显许多（图4(c)(d)），但两者衰减得也快。经过多次实验，研究者发现 (1,1)、(2,1) 等衰减最慢，故在 Timpani 的特例下，频率的激发几乎总是那么几个音高，故可以达到“定音”的效果。

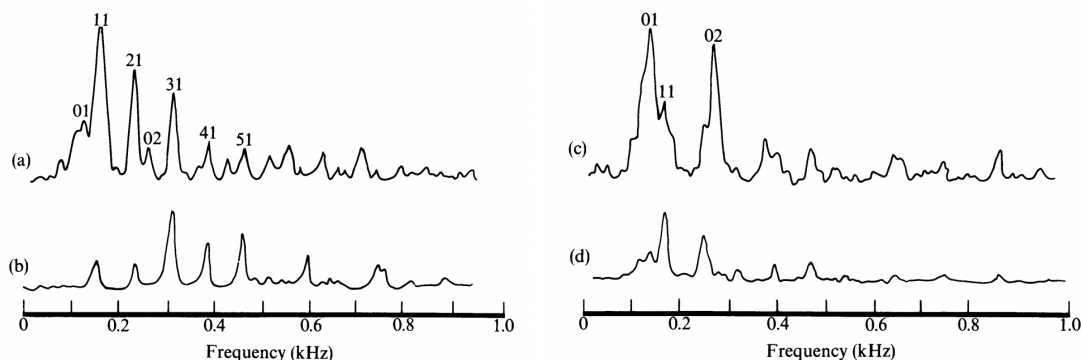


图 4: 打击点影响, (a): 敲击标准点后 0.03 s; (b): 敲击标准点后 1 s; (c): 敲击中央点后 0.03 s; (d): 敲击中央点后 1 s。

2.5 其他可能的影响因素

空腔/鼓体的形状可以微调频率的高低, 而包裹空腔的材质主要改变了音色。例如, 形状相似的铜制的 Timpani 和合成材料制作的 Timpani 听起来差别巨大。膜的材料不同在声音性质层面可能也有些微的不同, 例如小牛皮的音色更加悦耳, 这可能与 (0,1) 频在小牛皮和其他材料上衰减速度不同有关。

3 固定音高乐器和无固定音高乐器的本质区别

在以上的讨论中, 我们总是试图依据乐器的物理性质(材质、形状、边界条件等)来解出固定的振动模态。其实, 不管是什么类型的乐器, 它们都有自己一定的振动模态。但是, **固定音高乐器**一个重要特点是其模态在敲击(或者摩擦振动, 这是弦乐器的情况)后保持一定, 且除了泛音列和和声列之外不太会存在其他的杂波。而**无固定音高乐器**(如很多噪音乐器)一方面设计时并没有像固定音高乐器一样严格确定尺寸、边界形状等等, 另一方面实际演奏时就存在各种振动频率的随机叠加, 而且某些情形下, 波的频率还会随时间而改变。波形非常复杂, 故人听不出一个固定的音高。

所以, 两者本质区别在于能否发出频率固定的简单振动波形, 并且允许与之频率比成近于简单整数比的其他固定频率波存在。

参考文献

- [1] Neville H Fletcher and Thomas D Rossing. *The physics of musical instruments*. Springer Science & Business Media, 2012.
- [2] Thomas D Rossing and Garry Kvistad. *Acoustics of timpani: Preliminary studies*. 1976.
- [3] Dave Benson. *Music: A mathematical offering*. Cambridge University Press, 2006.

- [4] Gareth Loy. *Musimathics, Volume 1: The Mathematical Foundations of Music*, volume 1. MIT press, 2011.
- [5] AH Benade. Fundamentals of musical acoustics. *Oxford University Press, New York*, 1976.